



RL181S 系列: 特点: • 铁氧体屏蔽, 低辐射 • 高 Q 值 • 高效率, 高可靠性 • 工作温度: -55°C ~ 105°C
应用: • 开关模式电源 • DC-DC 转换器 • 台式机、笔记本电脑、服务器 • 数字电视、DVD、线缆调制解调器、DSS 机顶盒 • 电池充电器 • 输出扼流圈 • EMI 滤波器

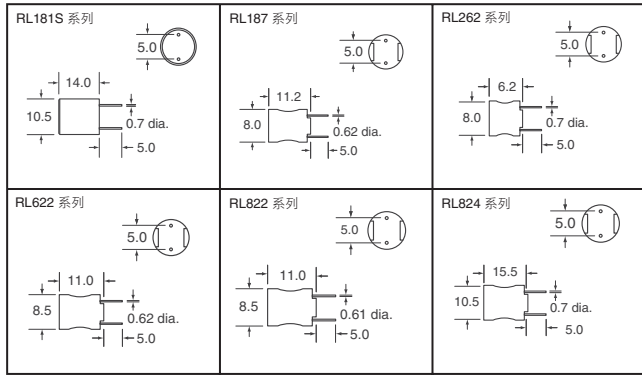
RL187 系列: 特点: • 高 Q 值 • 高效率, 高可靠性 • 线圈包在热缩管中 • 工作温度: -55°C ~ 105°C 应用: • 开关模式电源 • DC-DC 转换器 • 台式机、笔记本电脑、服务器 • 数字电视、DVD、线缆调制解调器、DSS 机顶盒 • 电池充电器 • 输出扼流圈 • EMI 滤波器

RL262 系列: 特点: • 高 Q 值 • 高效率, 高可靠性 • 线圈包在热缩管中 • 工作温度: -55°C ~ 105°C 应用: • 开关模式电源 • DC-DC 转换器 • 台式机、笔记本电脑、服务器 • 数字电视、DVD、线缆调制解调器、DSS 机顶盒 • 电池充电器 • 输出扼流圈 • EMI 滤波器

RL622 系列: 特点: • 电流容量高 • 铁氧体线圈轴芯 • 低损耗 • 高效率, 高可靠性 • 线圈包在热缩管中 • 工作温度: -55°C ~ 105°C 应用: • 开关模式电源 • DC-DC 转换器 • 台式机、笔记本电脑、服务器 • 数字电视、DVD、线缆调制解调器、DSS 机顶盒 • 电池充电器 • 输出扼流圈 • EMI 滤波器

RL822 系列: 特点: • 电流容量高 • 铁氧体线圈轴芯 • 低损耗 • 高效率, 高可靠性 • 线圈包在热缩管中 • 工作温度: -55°C ~ 105°C 应用: • 开关模式电源 • DC-DC 转换器 • 台式机、笔记本电脑、服务器 • 数字电视、DVD、线缆调制解调器、DSS 机顶盒 • 电池充电器 • 输出扼流圈 • EMI 滤波器

RL824 系列: 特点: • 电流容量高 • 铁氧体线圈轴芯 • 低损耗 • 高效率, 高可靠性 • 线圈包在热缩管中 • 工作温度: -55°C ~ 105°C 应用: • 开关模式电源 • DC-DC 转换器 • 台式机、笔记本电脑、服务器 • 数字电视、DVD、线缆调制解调器、DSS 机顶盒 • 电池充电器 • 输出扼流圈 • EMI 滤波器



| 在 1kHz 时的 L (μH) ±5% | 在 50kHz 时的 Q (最小) | 测试频率 (kHz) | 最小 SRF 值 (MHz) | 最大 DCR 值 (Ω) | DC 电流 (mA) | Digi-Key 零件编号 | 1 | 10 | 25 | 50 | 100 | J.W. Miller 零件编号 |
|----------------------|-------------------|------------|----------------|--------------|------------|---------------|------|------|------|-----|-----|------------------|
| RL181S 系列 | | | | | | | | | | | | |
| 1000 | 70 | — | 0.77 | 3.4 | 90 | M10064-ND | 1.98 | 1.49 | 1.12 | .99 | .87 | RL181S-102J-RC |
| 1500 | 70 | — | 0.64 | 4.0 | 70 | M10065-ND | 1.98 | 1.49 | 1.12 | .99 | .87 | RL181S-152J-RC |
| 3300 | 100 | — | 0.44 | 6.1 | 50 | M10066-ND | 1.98 | 1.49 | 1.12 | .99 | .87 | RL181S-332J-RC |
| 4700 | 100 | — | 0.38 | 7.5 | 40 | M10067-ND | 1.98 | 1.49 | 1.12 | .99 | .87 | RL181S-472J-RC |
| 5600 | 100 | — | 0.35 | 8.4 | 40 | M10068-ND | 1.98 | 1.49 | 1.12 | .99 | .87 | RL181S-562J-RC |
| 8200 | 100 | — | 0.28 | 10.4 | 30 | M10069-ND | 1.98 | 1.49 | 1.12 | .99 | .87 | RL181S-822J-RC |
| 10000 | 100 | — | 0.25 | 12.1 | 25 | M10070-ND | 1.98 | 1.49 | 1.12 | .99 | .87 | RL181S-103J-RC |
| 15000 | 100 | — | 0.22 | 15.0 | 22 | M10071-ND | 1.98 | 1.49 | 1.12 | .99 | .87 | RL181S-153J-RC |
| 18000 | 100 | — | 0.19 | 17.0 | 21 | M10072-ND | 1.98 | 1.49 | 1.12 | .99 | .87 | RL181S-183J-RC |
| 22000 | 100 | — | 0.19 | 19.5 | 20 | M10073-ND | 1.98 | 1.49 | 1.12 | .99 | .87 | RL181S-223J-RC |
| 33000 | 100 | — | 0.16 | 26.0 | 17 | M10074-ND | 1.98 | 1.49 | 1.12 | .99 | .87 | RL181S-333J-RC |
| 39000 | 100 | — | 0.12 | 45.0 | 15 | M10075-ND | 1.98 | 1.49 | 1.12 | .99 | .87 | RL181S-393J-RC |
| 47000 | 100 | — | 0.12 | 52.0 | 13 | M10076-ND | 1.98 | 1.49 | 1.12 | .99 | .87 | RL181S-473J-RC |
| 100000 | 100 | — | 0.09 | 82.0 | 9 | M10077-ND | 1.98 | 1.49 | 1.12 | .99 | .87 | RL181S-104J-RC |
| 120000 | 100 | — | 0.09 | 97 | 8 | M10078-ND | 1.98 | 1.49 | 1.12 | .99 | .87 | RL181S-124J-RC |
| RL187 系列 | | | | | | | | | | | | |
| 100 | 80 | 796 | 5.3 | 2.0 | 200 | M10038-ND | 1.18 | .94 | .71 | .59 | .47 | RL187-101J-RC |
| 150 | 80 | 796 | 3.8 | 2.0 | 200 | M10039-ND | 1.18 | .94 | .71 | .59 | .47 | RL187-151J-RC |
| 220 | 80 | 796 | 2.9 | 3.0 | 200 | M10040-ND | 1.18 | .94 | .71 | .59 | .47 | RL187-221J-RC |
| 330 | 80 | 796 | 2.3 | 4.0 | 200 | M10041-ND | 1.18 | .94 | .71 | .59 | .47 | RL187-331J-RC |
| 390 | 80 | 796 | 2.1 | 4.0 | 200 | M10042-ND | 1.18 | .94 | .71 | .59 | .47 | RL187-391J-RC |
| 470 | 80 | 796 | 1.9 | 4.0 | 200 | M10043-ND | 1.18 | .94 | .71 | .59 | .47 | RL187-471J-RC |
| 560 | 80 | 796 | 1.7 | 4.0 | 200 | M10044-ND | 1.18 | .94 | .71 | .59 | .47 | RL187-561J-RC |
| 680 | 80 | 796 | 1.6 | 4.0 | 200 | M10045-ND | 1.18 | .94 | .71 | .59 | .47 | RL187-681J-RC |
| 820 | 80 | 796 | 1.4 | 6.0 | 200 | M10046-ND | 1.18 | .94 | .71 | .59 | .47 | RL187-821J-RC |
| 1000 | 90 | 252 | 1.3 | 6.0 | 150 | M10047-ND | 1.18 | .94 | .71 | .59 | .47 | RL187-102J-RC |
| 1200 | 90 | 252 | 1.2 | 9.0 | 150 | M10048-ND | 1.18 | .94 | .71 | .59 | .47 | RL187-122J-RC |
| 1500 | 90 | 252 | 1.1 | 9.0 | 150 | M10049-ND | 1.18 | .94 | .71 | .59 | .47 | RL187-152J-RC |
| 2200 | 90 | 252 | 0.9 | 13 | 100 | M10050-ND | 1.18 | .94 | .71 | .59 | .47 | RL187-222J-RC |
| 2700 | 90 | 252 | 0.8 | 13 | 100 | M10051-ND | 1.18 | .94 | .71 | .59 | .47 | RL187-272J-RC |
| 3300 | 90 | 252 | 0.7 | 13 | 100 | M10052-ND | 1.18 | .94 | .71 | .59 | .47 | RL187-332J-RC |
| 3900 | 90 | 252 | 0.6 | 13 | 50 | M10053-ND | 1.18 | .94 | .71 | .59 | .47 | RL187-392J-RC |
| 4700 | 90 | 252 | 0.6 | 18 | 50 | M10054-ND | 1.18 | .94 | .71 | .59 | .47 | RL187-472J-RC |
| 5600 | 90 | 252 | 0.5 | 18 | 50 | M10055-ND | 1.18 | .94 | .71 | .59 | .47 | RL187-562J-RC |
| 6800 | 90 | 252 | 0.5 | 26 | 50 | M10056-ND | 1.18 | .94 | .71 | .59 | .47 | RL187-682J-RC |
| 8200 | 90 | 252 | 0.4 | 26 | 50 | M10057-ND | 1.18 | .94 | .71 | .59 | .47 | RL187-822J-RC |
| 10000 | 100 | 79.6 | 0.4 | 40 | 40 | M10058-ND | 1.18 | .94 | .71 | .59 | .47 | RL187-103J-RC |
| 15000 | 100 | 79.6 | 0.4 | 60 | 40 | M10059-ND | 1.18 | .94 | .71 | .59 | .47 | RL187-153J-RC |
| 18000 | 100 | 79.6 | 0.3 | 60 | 30 | M10060-ND | 1.18 | .94 | .71 | .59 | .47 | RL187-183J-RC |
| 22000 | 100 | 79.6 | 0.3 | 80 | 30 | M10061-ND | 1.18 | .94 | .71 | .59 | .47 | RL187-223J-RC |
| 27000 | 100 | 79.6 | 0.3 | 80 | 30 | M10062-ND | 1.18 | .94 | .71 | .59 | .47 | RL187-273J-RC |
| 33000 | 100 | 79.6 | 0.3 | 80 | 30 | M10063-ND | 1.18 | .94 | .71 | .59 | .47 | RL187-333J-RC |

| 在 1kHz 时的 L (μH) ±5% | 在 50kHz 时的 Q (最小) | 测试频率 (kHz) | 最小 SRF 值 (MHz) | 最大 DCR 值 (Ω) | DC 电流 (mA) | Digi-Key 零件编号 | 1 | 10 | 25 | 50 | 100 | J.W. Miller 零件编号 |
|----------------------|-------------------|------------|----------------|--------------|------------|---------------|------|-----|-----|-----|-----|------------------|
| RL262 系列 | | | | | | | | | | | | |
| 100 | 60 | 796 | 6.1 | 2.0 | 200 | M10030-ND | 1.18 | .94 | .71 | .59 | .47 | RL262-101J-RC |
| 470 | 60 | 796 | 3.2 | 5.0 | 100 | M10031-ND | 1.18 | .94 | .71 | .59 | .47 | RL262-471J-RC |
| 1000 | 80 | 252 | 2.1 | 9.0 | 50 | M10032-ND | 1.18 | .94 | .71 | .59 | .47 | RL262-102J-RC |
| 1500 | 80 | 252 | 1.8 | 11.0 | 50 | M10033-ND | 1.18 | .94 | .71 | .59 | .47 | RL262-152J-RC |
| 2200 | 80 | 252 | 1.5 | 14.0 | 50 | M10034-ND | 1.18 | .94 | .71 | .59 | .47 | RL262-222J-RC |
| 8200 | 80 | 252 | 0.6 | 45.0 | 30 | M10035-ND | 1.18 | .94 | .71 | .59 | .47 | RL262-822J-RC |
| 10000 | 60 | 79.6 | 0.6 | 55.0 | 20 | M10036-ND | 1.18 | .94 | .71 | .59 | .47 | RL262-103J-RC |
| 15000 | 60 | 79.6 | 0.5 | 80.0 | 20 | M10037-ND | 1.18 | .94 | .71 | .59 | .47 | RL262-153J-RC |

| 在 1kHz 时的 L (μH) ±5% | 在 50kHz 时的 Q (最小) | 测试频率 (kHz) | 最小 SRF 值 (MHz) | 最大 DCR 值 (Ω) | DC 电流 (A) | Digi-Key 零件编号 | 1 | 10 | 25 | 50 | 100 | J.W. Miller 零件编号 |
|----------------------|-------------------|------------|----------------|--------------|-----------|---------------|------|-----|-----|-----|-----|------------------|
| RL622 系列 | | | | | | | | | | | | |
| 1.0 | 20 | 7.96 | 150 | 0.013 | 10 | M9975-ND | 1.13 | .90 | .68 | .57 | .45 | RL622-1R0K-RC |
| 1.5 | 20 | 7.96 | 130 | 0.016 | 8.5 | M9976-ND | 1.13 | .90 | .68 | .57 | .45 | RL622-1R5K-RC |
| 2.2 | 20 | 7.96 | 100 | 0.021 | 6.5 | M9977-ND | 1.13 | .90 | .68 | .57 | .45 | RL622-2R2K-RC |
| 3.3 | 20 | 7.96 | 79 | 0.025 | 5.5 | M9978-ND | 1.13 | .90 | .68 | .57 | .45 | RL622-3R3K-RC |
| 4.7 | 20 | 7.96 | 51 | 0.030 | 4.3 | M9979-ND | 1.13 | .90 | .68 | .57 | .45 | RL622-4R7K-RC |
| 6.8 | 20 | 7.96 | 29 | 0.035 | 3.7 | M9980-ND | 1.13 | .90 | .68 | .57 | .45 | RL622-6R8K-RC |
| 10 | 50 | 2.52 | 14 | 0.045 | 3.0 | M9981-ND | 1.13 | .90 | .68 | .57 | .45 | RL622-100K-RC |
| 12 | 50 | 2.52 | 13 | 0.050 | 2.7 | M9982-ND | 1.13 | .90 | .68 | .57 | .45 | RL622-120K-RC |
| 15 | 40 | 2.52 | 12 | 0.056 | 2.3 | M9983-ND | 1.13 | .90 | .68 | .57 | .45 | RL622-150K-RC |
| 18 | 40 | 2.52 | 11 | 0.061 | 2.2 | M9984-ND | 1.13 | .90 | .68 | .57 | .45 | RL622-180K-RC |
| 22 | 40 | 2.52 | 9.2 | 0.070 | 2.0 | M9985-ND | 1.13 | .90 | .68 | .57 | .45 | RL622-220K-RC |
| 27 | 30 | 2.52 | 8.5 | 0.080 | 1.7 | M9986-ND | 1.13 | .90 | .68 | .57 | .45 | RL622-270K-RC |
| 33 | 30 | 2.52 | 7.8 | 0.090 | 1.6 | M9987-ND | 1.13 | .90 | .68 | .57 | .45 | RL622-330K-RC |
| 39 | 30 | 2.52 | 6.9 | 0.10 | 1.5 | M9988-ND | 1.13 | .90 | .68 | .57 | .45 | RL622-390K-RC |
| 47 | 30 | 2.52 | 6.5 | 0.16 | 1.4 | M9989-ND | 1.13 | .90 | .68 | .57 | .45 | RL622-470K-RC |
| 56 | 30 | 2.52 | 5.4 | 0.18 | 1.3 | M9990-ND | 1.13 | .90 | .68 | .57 | .45 | RL622-560K-RC |
| 68 | 30 | 2.52 | 4.9 | 0.21 | 1.2 | M9991-ND | 1.13 | .90 | .68 | .57 | .45 | RL622-680K-RC |
| 82 | 30 | 2.52 | 4.1 | 0.23 | 1.1 | M9992-ND | 1.13 | .90 | .68 | .57 | .45 | RL622-820K-RC |
| 100 | 20 | 0.796 | 3.7 | 0.28 | 0.91 | M9993-ND | 1.13 | .90 | .68 | .57 | .45 | RL622-101K-RC |
| 120 | 20 | 0.796 | 3.4 | 0.32 | 0.84 | M9994-ND | 1.13 | .90 | .68 | .57 | .45 | RL622-121K-RC |
| 150 | 20 | 0.796 | 3.2 | 0.37 | 0.75 | M9995-ND | 1.13 | .90 | .68 | .57 | .45 | RL622-151K-RC |
| 180 | 20 | 0.796 | 2.8 | 0.58 | 0.69 | M9996-ND | 1.13 | .90 | .68 | .57 | .45 | RL622-181K-RC |
| 220 | 20 | 0.796 | 2.7 | 0.65 | 0.64 | M9997-ND | 1.13 | .90 | .68 | .57 | .45 | RL622-221K-RC |
| 270 | 20 | 0.796 | 2.4 | 0.75 | 0.57 | M9998-ND | 1.13 | .90 | .68 | .57 | .45 | RL622-271K-RC |
| 330 | 20 | 0.796 | 2.3 | 0.85 | 0.54 | M9999-ND | 1.13 | .90 | .68 | .57 | .45 | RL622-331K-RC |
| 390 | 20 | 0.796 | 2.1 | 1.0 | 0.48 | M10000-ND | 1.13 | .90 | .68 | .57 | .45 | RL622-391K-RC |
| 470 | 20 | 0.796 | 1.9 | 1.1 | 0.46 | M10001-ND | 1.13 | .90 | .68 | .57 | .45 | RL622-471K-RC |
| 560 | 20 | 0.796 | 1.8 | 1.4 | 0.41 | M10002-ND | 1.13 | .90 | .68 | .57 | .45 | RL622-561K-RC |
| 680 | 20 | 0.796 | 1.6 | 1.6 | 0.38 | M10003-ND | 1.13 | .90 | .68 | .57 | .45 | RL622-681K-RC |
| 820 | 20 | 0.796 | 1.5 | 1.8 | 0.35 | M10004-ND | 1.13 | .90 | .68 | | | |